

Боковой перенос энергии при возбуждении плазмонов терагерцовой волной в периодической пространственно несимметричной графеновой структуре

© Д.В. Фатеев^{1,2}, К.В. Машинский¹, И.М. Моисеенко¹, В.В. Попов¹

¹ Саратовский филиал Института радиотехники и электроники им. В.А. Котельникова Российской академии наук, 410019 Саратов, Россия

² Саратовский государственный университет им. Н.Г. Чернышевского, 410012 Саратов, Россия

E-mail: FateevDV@yandex.ru

Поступила в Редакцию 24 апреля 2019 г.

В окончательной редакции 29 апреля 2019 г.

Принята к публикации 29 апреля 2019 г.

Теоретически исследовано преобразование мощности терагерцовой волны, нормально падающей на периодическую графеновую структуру, в мощность бегущей плазменной волны. Найдены режимы максимального преобразования мощности падающего излучения в мощность бегущего плазмона и режим возбуждения однонаправленно бегущего плазмона. Выяснено, что до 15% мощности падающей волны может преобразоваться в мощность бегущего плазмона.

Ключевые слова: плазмон, терагерцовое излучение, графен, бегущая волна.

DOI: 10.21883/FTP.2019.09.48122.05

1. Введение

В последнее время интенсивно исследуются плазмонные свойства графена в терагерцовом (ТГц) частотном диапазоне [1–3]. В настоящее время современные технологии позволяют создавать графеновые структуры с подвижностью носителей заряда $\sim 100\,000\text{ см}^2/(\text{В} \cdot \text{с})$ и временем релаксации импульса носителей $\sim \tau = 1\text{ пс}$ при комнатных температурах [4], что соответствует теоретическим предсказаниям [5,6]. Указанные значения времени релаксации импульса позволяют возбуждать плазмонные резонансы на ТГц частотах.

Обычно для возбуждения плазмонных резонансов в графене используются короткопериодические решетки, позволяющие связать медленные дифракционные гармоники электрического поля [7] с медленными плазмонными модами в графене [8]. При таком способе возбуждения, как правило, возбуждаются стоячие плазменные волны. Для возбуждения бегущих плазменных волн в графене используются дифракция электромагнитной волны на одиночных объектах, таких как: 1) острие сканирующего ближнеполевого микроскопа [9], одиночный металлический затвор, расположенный над графеном [10], щель в металлическом экране, расположенном над графеном [11]. Еще одним способом возбуждения бегущего плазмона является использование постоянного дрейфа в графене в периодических структурах [12]. Наконец следует упомянуть способы возбуждения бегущего плазмона в графене с помощью эффекта нарушенного полного внутреннего отражения с использованием призм [13,14].

В данной работе исследуется преобразование ТГц волны, нормально падающей на периодическую графеновую

структуру с асимметричной элементарной ячейкой, в бегущую плазменную волну в графене.

2. Постановка задачи и метод решения

Рассматриваемая структура (рис. 1) состоит из графена, над которым расположен двойной решеточный металлический затвор с асимметричной элементарной ячейкой. Структура расположена на полубесконечной диэлектрической подложке. Терагерцовая волна, с поляризацией электрического поля поперек полосок решетки, падает на решеточный затвор и возбуждает плазменные колебания в графене. За счет создания геометрической асимметрии элементарной ячейки графеновой структуры возможно возбуждение плазменной волны с неравными встречными пространственными фурье-гармониками порядков $+p$ и $-p$ [15], что может приводить к возбуждению бегущей плазменной волны и к возникновению эффектов увлечения носителей заряда

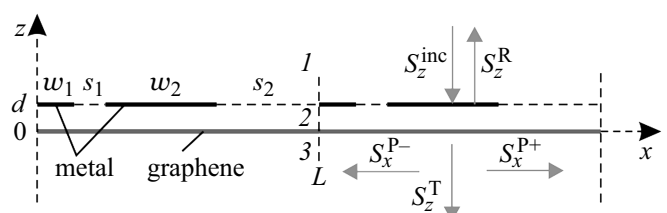


Рис. 1. Схематическое изображение периодической графеновой структуры с двойным решеточным затвором (показаны две элементарные ячейки). На рисунке справа показаны потоки мощности в структуре.

в графене бегущей плазменной волной [15,16]. В расчетах использовалось значение энергии Ферми носителей заряда в графене 150 мэВ.

Для моделирования возбуждения бегущей плазменной волны в периодической структуре была решена электродинамическая задача о нормальном падении одномерной ТГц электромагнитной волны на рассматриваемую структуру. На первом этапе электродинамического подхода уравнения Максвелла в трех диэлектрических средах записываются в фурье-представлении, с разложением всех компонент индуцированных электрического и магнитного полей в ряды Фурье как

$$E_x(x, z, t) = \exp(-i\omega t) \sum_{p=-\infty}^{\infty} e_{x,p}(z) \exp(iq_p x),$$

где $E_x(x, z, t)$ — x -компонента электрического поля, $e_{x,p}(z)$ — фурье-амплитуды и $q_p = 2\pi p/L$ — векторы обратной решетки, p — целое число и L — пространственный период графеновой структуры. Зависимость индуцированных электрических полей от координаты z в диэлектрических средах записывалась в виде

$$\begin{aligned} e_{x,p}^{(1)}(z) &= e_{x,p}^{(1)} \exp(iq_{z,p}^{(1)} z), \\ e_{x,p}^{(2)}(z) &= e_{x,p}^{(2,1)} \exp(iq_{z,p}^{(2)} z) + e_{x,p}^{(2,2)} \exp(-iq_{z,p}^{(2)} z), \\ e_{x,p}^{(3)}(z) &= e_{x,p}^{(3)} \exp(iq_{z,p}^{(3)} z), \end{aligned} \quad (1)$$

где $e_{x,p}^{(\alpha)}(z)$ — фурье-амплитуды электрического поля в различных диэлектрических средах, $q_{z,p}^{(\alpha)} = \pm \sqrt{\omega^2 \varepsilon_\alpha \varepsilon_0 \mu_0 - q_p^2}$ — поперечные волновые числа пространственных фурье-гармоник и $\alpha = 1, 2, 3$ — номер среды. Связь электрических и магнитных полей в различных диэлектрических средах описывается граничными условиями в плоскостях $z = d$ и $z = 0$, в виде

$$\begin{cases} e_{x,p}^{(1)}(d) + \delta_{p,0} E_x^{\text{inc}}(d) = e_{x,p}^{(2)}(d), \\ h_{y,p}^{(1)}(d) + \delta_{p,0} H_y^{\text{inc}}(d) - h_{y,p}^{(2)}(d) = -j_{x,p}(d), \\ e_{x,p}^{(2)}(0) = e_{x,p}^{(3)}(0), \\ h_{y,p}^{(2)}(0) - h_{y,p}^{(3)}(0) = -\sigma_{\text{gr}}(\omega) e_{x,p}^{(2)}(0), \end{cases} \quad (2)$$

где $j_{x,p}(d)$ — фурье-амплитуды электрического тока в плоскости металлического затвора $z = d$, $\sigma_{\text{gr}}(\omega)$ — проводимость графена, описываемая формулой [17,18]

$$\begin{aligned} \sigma_{\text{gr}}(\omega) &= \frac{e^2 2\tau k_B T}{\pi \hbar^2 (1 - i\omega\tau)} \ln \left(2 \operatorname{ch} \left(\frac{\varepsilon_F}{2k_B T} \right) \right) \\ &+ \frac{e^2}{4\hbar^2} Q \left(\frac{\hbar\omega}{2} \right) - \frac{e^2 \omega}{i\pi} \int_0^\infty \frac{Q(\varepsilon) - Q(\frac{\hbar\omega}{2})}{\hbar^2 \omega^2 - 4\varepsilon^2} d\varepsilon, \quad (3) \\ Q(\vartheta) &= \frac{\operatorname{sh}(\frac{\vartheta}{k_B T})}{\operatorname{ch}(\frac{\vartheta}{k_B T}) + \operatorname{ch}(\frac{\varepsilon_F}{k_B T})}. \end{aligned}$$

Здесь ε_F — энергия Ферми в графене, e — заряд электрона, k_B — постоянная Больцмана и T — температура.

С использованием уравнений Максвелла и граничных условий в фурье-представлении можно записать соотношение между фурье-амплитудами электрического поля и плотности тока в плоскости $z = d$

$$e_{x,p}^{(1)}(d) = Z_p(\sigma_{\text{gr}}) j d - \left(2 \sqrt{\frac{\varepsilon_0 \varepsilon_1}{\mu_0}} Z_0(\sigma_{\text{gr}}) e^{-id\omega \sqrt{\varepsilon_0 \mu_0 \varepsilon_1}} + 1 \right) \delta_{p,0} E_x^{\text{inc}}, \quad (4)$$

где

$$Z_p(\sigma_{\text{gr}}) = - \frac{q_{z,0}^{(1)} q_{z,0}^{(2)} (t_2 q_{z,0}^{(3)} \varepsilon_0 \varepsilon_2 \omega - t_1 q_{z,0}^{(2)} t_3)}{\varepsilon_0 \chi \omega}$$

— фурье-импедансы графеновой структуры в плоскости решеточного затвора, при получении которых использовались следующие величины:

$$\begin{aligned} \chi &= (\xi_2 q_{z,0}^{(1)} \varepsilon_2 - \xi_1 q_{z,0}^{(2)} \varepsilon_1) q_{z,0}^{(2)} \xi_3 + (\xi_2 q_{z,0}^{(2)} \varepsilon_1 \\ &- \xi_1 q_{z,0}^{(1)} \varepsilon_2) \varepsilon_0 \omega q_{z,0}^{(3)} \varepsilon_2, \end{aligned}$$

$$\xi_1 = -1 + e^{2idq^{(2)}}, \quad \xi_2 = 1 + e^{2idq^{(2)}}, \quad \xi_3 = q_{z,0}^{(3)} \sigma_{\text{gr}} - \varepsilon_0 \varepsilon_3 \omega.$$

На втором этапе электродинамического подхода формируются интегральные уравнения относительно осциллирующих токов в плоскости $z = d$. Для этого используется закон Ома в виде

$$I_x(x, d) = \sigma(x, d) E_x(x, d), \quad (5)$$

где $I_x(x, d) = \sigma(x, d) E_x(x, d)$ — плотность электрического тока в плоскости решеточного затвора, и

$$\sigma(x, d) = \begin{cases} \sigma_M & \text{при } 0 < x < w_1, \\ 0 & \text{при } w_1 < x < w_1 + w_2, \\ \sigma_M & \text{при } w_1 + w_2 < x < w_1 + w_2 + w_3, \\ 0 & \text{при } w_1 + w_2 + w_3 < x < L, \end{cases} \quad (6)$$

где σ_M — поверхностная проводимость металла. Используя выражения (4)–(6) и обратное преобразование Фурье для плотности электрического тока, можно записать два связанных интегральных уравнения относительно плотностей электрических токов на затворных электродах элементарной ячейки решеточного затвора:

$$\begin{aligned} I_x^{(w_1)}(x, d) - \sigma_M 2 \sqrt{\frac{\varepsilon_0 \varepsilon_1}{\mu_0}} \exp(-i\omega d \sqrt{\varepsilon_0 \mu_0 \varepsilon_1}) Z_0 E_x^{\text{inc}} \\ = \int_0^{w_1} I_x^{(w_1)}(x', d) G(x, x') dx' + \int_{w_1+s_1}^{w_1+s_1+w_2} I_x^{(w_2)}(x', d) G(x, x') dx', \\ I_x^{(w_2)}(x, d) - \sigma_M 2 \sqrt{\frac{\varepsilon_0 \varepsilon_1}{\mu_0}} \exp(-i\omega d \sqrt{\varepsilon_0 \mu_0 \varepsilon_1}) Z_0 E_x^{\text{inc}} \\ = \int_0^{w_1} I_x^{(w_1)}(x', d) G(x, x') dx' + \int_{w_1+s_1}^{w_1+s_1+w_2} I_x^{(w_2)}(x', d) G(x, x') dx', \end{aligned} \quad (7)$$

где $I_x^{(w_1)}(x, d)$ — плотность тока на затворном электроде с шириной w_1 , $I_x^{(w_2)}(x, d)$ — плотность тока на затворном электроде с шириной w_2 и

$$G(x, x') = \frac{1}{L} \sigma_M \sum_{p=-\infty}^{\infty} Z_P(\sigma_{gr}) \exp(iq_P(x - x'))$$

— ядра интегралов.

На следующем этапе электродинамического подхода система интегральных уравнений (7) решается методом Галеркина с помощью разложения плотностей электрического тока в ряды по ортогональным полиномам Лежандра:

$$I_x^{(w_1)}(x, d) = \sum_{\beta=0}^{\infty} C_{\beta}^{(1)} P_{\beta} \left(\frac{2x}{w_1} - 1 \right),$$

$$I_x^{(w_2)}(x, d) = \sum_{\beta=0}^{\infty} C_{\beta}^{(2)} P_{\beta} \left(2 \frac{x - w_1 - s_1}{w_2} - 1 \right), \quad (8)$$

где $C_{\beta}^{(n)}$ — коэффициенты разложения и P_{β} — полиномы Лежандра.

Подстановка выражений (8) в (7) преобразует систему интегральных уравнений в систему алгебраических уравнений относительно неизвестных коэффициентов $C_{\beta}^{(n)}$, которая решается численно. Решение алгебраической системы позволяет вычислить плотности токов на решеточном затворе, используя выражения (8), и электрические поля и токи во всех точках элементарной ячейки графеновой структуры с помощью выражений (4), граничных условий (2) и уравнений Максвелла.

Для вычисления потоков энергии в графеновой структуре использован усредненный по времени вектор Умова–Пойнтинга $\mathbf{S} = 0.5 \operatorname{Re}[\mathbf{E}\mathbf{H}^*]$, где \mathbf{E} — вектор электрического поля и \mathbf{H} — вектор магнитного поля. Поскольку при выбранной поляризации падающей волны будут возбуждаться только ТМ дифракционные поля с компонентами (E_x, E_z, H_y) , то вектор потока Умова–Пойнтинга будет иметь только две компоненты

$$S_x = -\frac{1}{2} \operatorname{Re}(E_z H_y^*),$$

$$S_z = \frac{1}{2} \operatorname{Re}(E_x H_y^*).$$

Вычислим поток мощности падающей волны как

$$S_z^{\text{inc}} = -\frac{1}{2} \sqrt{\frac{\varepsilon_1 \varepsilon_0}{\mu_0}} |E_x^{\text{inc}}|^2,$$

поток мощности отраженной от графеновой структуры волны как

$$S_z^R = \frac{1}{2} \sqrt{\frac{\varepsilon_1 \varepsilon_0}{\mu_0}} |e_{x,0}^{(1)}|^2$$

и поток мощности прошедшей через графеновую структуру волны как

$$S_z^T = -\frac{1}{2} \sqrt{\frac{\varepsilon_3 \varepsilon_0}{\mu_0}} |e_{x,0}^{(3)}|^2.$$

Тогда коэффициент поглощения ТГц волны в графеновой структуре может быть записан как

$$A = 1 - \frac{S_z^T + S_z^R}{S_z^{\text{inc}}}.$$

Усредненный по пространственному периоду структуры поток электромагнитной мощности вдоль графена (в x -направлении), возникающий в результате возбуждения бегущей плазменной волны, может быть вычислен как

$$S_x^P = \frac{1}{L} \int_{-\infty}^{+\infty} \int_0^L S_x dx dz. \quad (9)$$

Интегрирование по координате z учитывает вклад всех высших эванесцентных фурье-гармоник электромагнитного поля плазмона. Поток мощности плазмона (9) может быть записан как сумма двух встречных потоков $S_x^P = S_x^{P+} + S_x^{P-}$, один из которых (S_x^{P+}) направлен в положительном направлении оси x , а другой — в отрицательном (S_x^{P-}), при этом каждый из них должен суммировать потоки во всех трех средах

$$S_x^{P+} = S_x^{P1+} + S_x^{P2+} + S_x^{P3+},$$

$$S_x^{P-} = S_x^{P1-} + S_x^{P2-} + S_x^{P3-}.$$

Вклады потоков Умова–Пойнтинга различных направлений в различных средах вычисляются с помощью следующих выражений:

$$S_x^{P1+} = \frac{\omega \varepsilon_1 \varepsilon_0}{4} \sum_{p>0} \frac{q_p}{|q_{z,p}^{(1)}|^2} \frac{\beta_p^{(1)} |e_{x,p}^{(1)}|^2}{\operatorname{Im}(q_{z,p}^{(1)})},$$

$$S_x^{P2+} = \frac{\omega \varepsilon_2 \varepsilon_0}{4} \sum_{p>0} \frac{q_p}{|q_{z,p}^{(2)}|^2} \frac{\beta_p^{(2,2)} |e_{x,p}^{(2,2)}|^2 - \beta_p^{(2,1)} |e_{x,p}^{(2,1)}|^2}{\operatorname{Im}(q_{z,p}^{(2)})} - \omega \varepsilon_2 \varepsilon_0 d \sum_{p>0} \frac{q_p}{|q_{z,p}^{(2)}|^2} \operatorname{Re}(e_{x,p}^{(2,1)} (e_{x,p}^{(2,2)})^*),$$

$$S_x^{P3} = \frac{\omega \varepsilon_3 \varepsilon_0}{4} \sum_{p>0} \frac{q_p}{|q_{z,p}^{(3)}|^2} \frac{|e_{x,p}^{(3)}|^2}{-\operatorname{Im}(q_{z,p}^{(3)})}$$

и

$$S_x^{P1-} = \frac{\omega \varepsilon_1 \varepsilon_0}{4} \sum_{p<0} \frac{q_p}{|q_{z,p}^{(1)}|^2} \frac{\beta_p^{(1)} |e_{x,p}^{(1)}|^2}{\operatorname{Im}(q_{z,p}^{(1)})},$$

$$S_x^{P2-} = \frac{\omega \varepsilon_2 \varepsilon_0}{4} \sum_{p<0} \frac{q_p}{|q_{z,p}^{(2)}|^2} \frac{\beta_p^{(2,2)} |e_{x,p}^{(2,2)}|^2 - \beta_p^{(2,1)} |e_{x,p}^{(2,1)}|^2}{\operatorname{Im}(q_{z,p}^{(2)})} - \omega \varepsilon_2 \varepsilon_0 d \sum_{p<0} \frac{q_p}{|q_{z,p}^{(2)}|^2} \operatorname{Re}(e_{x,p}^{(2,1)} (e_{x,p}^{(2,2)})^*),$$

$$S_x^{P3-} = \frac{\omega \varepsilon_3 \varepsilon_0}{4} \sum_{p<0} \frac{q_p}{|q_{z,p}^{(3)}|^2} \frac{|e_{x,p}^{(3)}|^2}{-\operatorname{Im}(q_{z,p}^{(3)})},$$

где

$$\beta_p^{(1)} = \exp(-2 \operatorname{Im}(q_{z,p}^{(1)})d),$$

$$\beta_p^{(2,n)} = \exp((-1)^n 2 \operatorname{Im}(q_{z,p}^{(2)})d) - 1.$$

Для описания эффективности преобразования мощности падающей ТГц волны в бегущую плазменную волну вводится коэффициент $T_P = S_x^P / |S_{L,x}^{\text{inc}}|$, где $S_{L,x}^{\text{inc}} = LS_z^{\text{inc}}$ — плотность потока падающей волны на элементарную ячейку периодической структуры. Тогда коэффициент преобразования $T_P^+ = S_x^{P+} / |S_{L,z}^{\text{inc}}|$ будет описывать преобразование падающей электромагнитной волны в плазмон, переносящий энергию в положительном направлении оси x , а коэффициент преобразования $T_P^- = S_x^{P-} / |S_{L,z}^{\text{inc}}|$ будет соответствовать отрицательному направлению оси x .

3. Результаты расчетов и их обсуждение

При расчетах использовались следующие параметры графеновой структуры: $w_2 = 0.5$ мкм, $s_1 = 0.25$ мкм, $s_2 = 0.1$ мкм, $d = 25$ нм. В рассматриваемой графеновой структуре возможно возбуждение так называемых „подзатворных“ плазмонов, волновые вектора которых квантуются как $k_x = \pi n / w_l$ (для $l = 1, 2$), где w_l — ширины различных затворных электродов в элементарной ячейке и n — целое число. В пространственно симметричной структуре только радиационные плазмонные моды (с $n = 1, 3, 5, \dots$) могут возбуждаться падающей волной. В то время как в пространственно асимметричной структуре возможно возбуждение „нерационных“ плазмонных мод (с $n = 2, 4, 6, \dots$) [15]. В рассматриваемой графеновой структуре было исследовано преобразование падающей электромагнитной ТГц волны в бегущий плазмон при возбуждении „подзатворных“ плазмонных

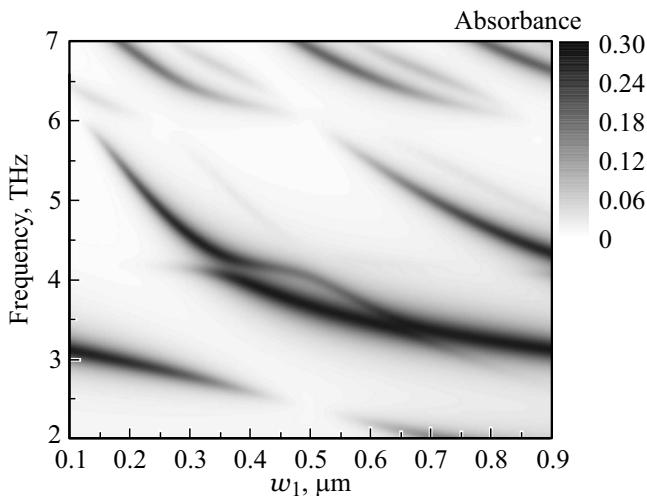


Рис. 2. Спектр коэффициента поглощения периодической графеновой структуры A в зависимости от ширины затворного электрода w_1 .

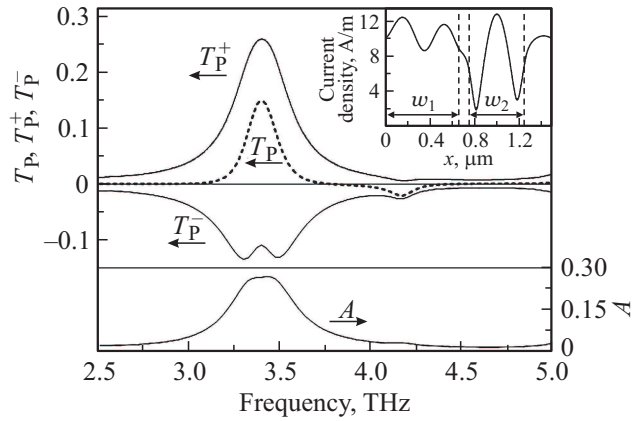


Рис. 3. Спектры коэффициентов преобразования мощности падающей волны в мощность бегущего плазмона T_P , T_P^+ , и T_P^- при ширине затворного электрода $w_1 = 0.656$ мкм. Кривая коэффициента поглощения A графеновой структуры в нижней части рисунка получена как сечение рис. 2 при $w_1 = 0.656$ мкм. На вставке в верхней части рисунка показано пространственное распределение плотности осциллирующего тока в элементарной ячейке графена в плазмонном резонансе на частоте 3.4 ТГц при $w_1 = 0.656$ мкм.

мод с различными $k_x = \pi n / w_l$. На рис. 2 показана зависимость спектра коэффициента поглощения в графеновой структуре от ширины затворного электрода w_1 . Плазмонные моды, коэффициент поглощения которых не зависит от w_1 , резонансно возбуждаются под затворным электродом w_2 , и моды, для которых частота обратно пропорциональна ширине затворного электрода w_2 , возбуждаются под затворным электродом w_2 (рис. 2). Наиболее эффективными с точки зрения увеличения коэффициента преобразования падающей ТГц волны в бегущий плазмон T_P являются такие плазмонные резонансы, когда под одним затворным электродом резонансно возбуждается „радиационная“ плазмонная мода с волновым вектором $k_x = \pi / w_2$, а под другим затворным электродом — „нерационная“ плазмонная мода с волновым вектором $k_x = \pi 2 / w_1$ (на рис. 2 показаны две такие точки): 1) на частоте 3.4 ТГц и $w_1 = 0.656$ мкм и 2) на частоте 4.1 ТГц и $w_1 = 0.36$ мкм). При расчетах произведена оптимизация графеновой структуры для получения наибольшего коэффициента преобразования T_P на частоте 3.4 ТГц при $w_1 = 0.656$ мкм по параметрам w_2 , d и коэффициенту асимметрии $K = 1 - s_1 / s_2$, при постоянной сумме $s_1 + s_2$.

Максимально достижимый коэффициент преобразования в этом случае составил 15% для времени релаксации импульса носителей заряда 1 пс (рис. 3) и коэффициента асимметрии $K = 0.6$. При возбуждении такого плазмонного резонанса потоки мощности в положительном T_P^+ и отрицательном T_P^- направлении оси x испытывают резонанс и отличаются друг от друга в 2 раза (рис. 3). Пространственное распределение E_x компоненты электрического поля в графене для плазмонной моды с

максимальным коэффициентом преобразования показано на вставке к рис. 3, где показано одновременное возбуждение „радиационной“ и „нерадиационной“ плазмонных мод.

Максимальное различие между потоками мощности плазмона в положительном T_p^+ и отрицательном T_p^- направлении оси x (рис. 4) можно наблюдать при резонансном возбуждении только „нерадиационной“ подзатворной моды. Графеновая структура была оптимизирована по параметрам s_1, s_2, w_2, d и коэффициенту асимметрии K в целях увеличения коэффициента преобразования мощности в однонаправленно распространяющийся плазмон. На рис. 4 показаны резонансы возбуждения двух „нерадиационных“ мод с волновым вектором

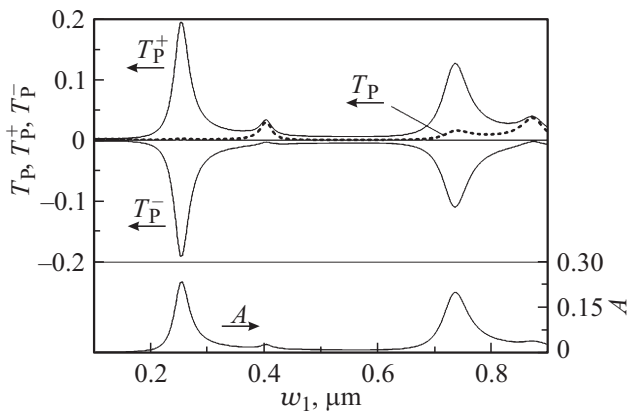


Рис. 4. Зависимость коэффициентов преобразования мощности падающей волны в мощность бегущего плазмона T_p, T_p^+ и T_p^- от ширины затворного электрода w_1 на частоте 4.875 ТГц. Кривая коэффициента поглощения A графеновой структуры в нижней части рисунка получена как сечение рис. 2 на частоте 4.875 ТГц.

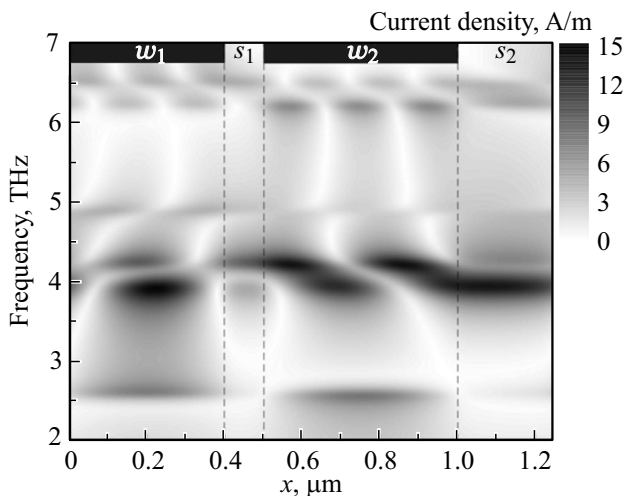


Рис. 5. Пространственное распределение плотности осциллирующего тока в элементарной ячейке графена при резонансном возбуждении „нерадиационной“ плазмонной моды с волновым вектором $k_x = 2\pi/w_1$ на частоте 4.875 ТГц при $w_1 = 0.404$ мкм.

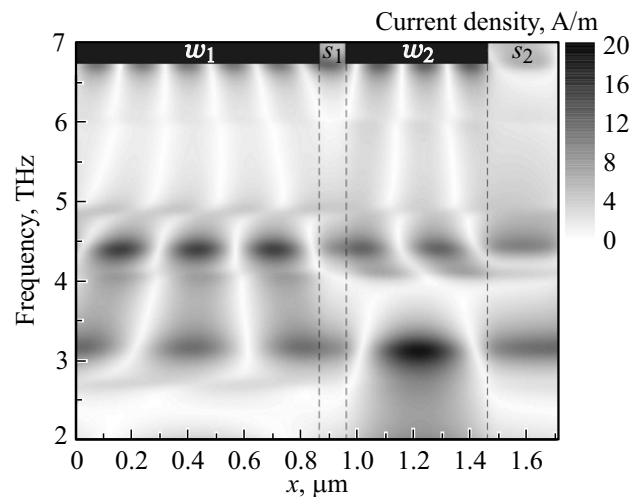


Рис. 6. Пространственное распределение плотности осциллирующего тока в элементарной ячейке графена при резонансном возбуждении „нерадиационной“ плазмонной моды с волновым вектором $k_x = 4\pi/w_1$ на частоте 4.875 ТГц при $w_1 = 0.872$ мкм.

$k_x = 2\pi/w_1$ и $w_1 = 0.404$ мкм и волновым вектором $k_x = 4\pi/w_1$ и $w_1 = 0.872$ мкм на частоте 4.875 ТГц. Максимальное преобразование мощности в однонаправленный плазмон происходит при возбуждении „нерадиационной“ моды с волновым вектором $k_x = 4\pi/w_1$ (рис. 2 на частоте 4.875 ТГц и $w_1 = 0.872$ мкм) при коэффициенте асимметрии графеновой структуры $K = 0.6$ (рис. 4). Выяснено, что в этом случае, несмотря на сравнительно небольшой коэффициент преобразования мощности падающей волны в бегущую мощность плазмона T_p , разница между потоками мощности плазмона T_p^+ и T_p^- может превышать порядок величины (рис. 4 при $w_1 = 0.872$ мкм). Пространственное распределение компоненты электрического поля в графене для „нерадиационной“ плазмонной моды с волновым вектором $k_x = 2\pi/w_1$ показано на рис. 5, а для плазмонной моды с волновым вектором $k_x = 4\pi/w_1$ — на рис. 6.

4. Заключение

Таким образом, в данной работе показано, что в периодической графеновой структуре с двойным решеточным затвором и асимметричной элементарной ячейкой возможно возбуждение бегущих плазмонных мод внешней ТГц волной, нормально падающей на плоскость структуры. Наибольший коэффициент преобразования мощности падающей волны в бегущий плазмон достигается при одновременном резонансном возбуждении „радиационной“ и „нерадиационной“ плазмонных мод под разными затворными электродами в элементарной ячейке структуры.

При резонансном возбуждении только „нерадиационной“ плазмонной моды в графеновой структуре мощ-

ность падающей волны преобразуется в однонаправленно бегущий плазмон. Причем различие между встречными потоками мощности плазмона может составлять больше порядка величины.

Финансирование работы

Работа поддержана Российским научным фондом, грант № 18-79-10041.

Конфликт интересов

Авторы заявляют, что у них нет конфликта интересов.

Список литературы

- [1] A.N. Grigorenko, M. Polini, K.S. Novoselov. *Nature Photonics*, **6**, 749 (2012).
- [2] F.H.L. Koppens, T. Mueller, P. Avouris, A.C. Ferrari, M.S. Vitiello, M. Polini. *Nature Nanotech.*, **9**, 780 (2014).
- [3] F.J. Garcia de Abajo. *ACS Photonics*, **1**, 135 (2014).
- [4] A.K. Geim, I.V. Grigorieva. *Nature*, **499**, 419 (2013).
- [5] D. Svintsov, V. Vyurkov, S. Yurchenko, T. Otsuji, V. Ryzhii. *J. Appl. Phys.*, **111**, 083715 (2012).
- [6] T. Zhao, S. Gong, M. Hu, R. Zhong, D. Liu, X. Chen, P. Zhang, X. Wang, C. Zhang, P. Wu, S. Liu. *Scientific Rep.*, **5**, 16059 (2015).
- [7] H. Yan, T. Low, W. Zhu, Y. Wu, M. Freitag, X. Li, F. Guinea, P. Avouris, F. Xia. *Nature Photonics*, **7**, 394 (2013).
- [8] B. Wunsch, T. Stauber, F. Sols, F. Guinea. *New J. Phys.*, **8**, 318 (2006).
- [9] P. Alonso-Gonzalez, A.Y. Nikitin, Y. Gao, A. Woessner, M.B. Lundeberg, A. Principi, N. Forcellini, W. Yan, S. Velez, A.J. Huber, K. Watanabe, T. Taniguchi, F. Casanova, L.E. Hueso, M. Polini, J. Hone, F.H.L. Koppens, R. Hillenbrand. *Nature Nanotech.*, **12**, 31 (2017).
- [10] N. Kumada, S. Tanabe, H. Hibino, H. Kamata, M. Hashisaka, K. Muraki, T. Fujisawa. *Nature Commun.*, **4**, 1363, (2013).
- [11] L. Du, D. Tang. *J. Optical Soc. America A*, **31**, 691 (2014).
- [12] T. Wenger, G. Viola, J. Kinaret, M. Fogelstrom, P. Tassin. *Phys. Rev. B*, **97**, 085419 (2018).
- [13] Y.V. Bludov, M.I. Vasilevskiy, N.M.R. Peres. *J. Appl. Phys.*, **112**, 084320 (2012).
- [14] A.Y. Nikitin, P. Alonso-Gonzalez, R. Hillenbrand. *Nano Lett.*, **14**, 2896 (2014).
- [15] V.V. Popov, D.V. Fateev, E.L. Ivchenko, S.D. Ganichev. *Phys. Rev. B*, **91**, 235436 (2015).
- [16] D.V. Fateev, K.V. Mashinsky, V.V. Popov. *Appl. Phys. Lett.*, **110**, 061106 (2017).
- [17] L.A. Falkovsky, A.A. Varlamov. *Eur. Phys. J. B*, **56**, 281 (2007).
- [18] M.S. Jang, V.W. Brar, M.C. Sherrott, J.J. Lopez, L. Kim, S. Kim, M. Choi, H.A. Atwater. *Phys. Rev. B*, **90**, 165409 (2014).

Редактор Г.А. Оганесян

Lateral energy transfer by plasmons excited by a terahertz wave in a periodic spatially asymmetric graphene structure

D.V. Fateev^{1,2}, K.V. Mashinsky¹, I.M. Moiseenko¹, V.V. Popov¹

¹ Kotelnikov Institute of Radio Engineering and Electronics, Russian Academy of Sciences, 410019 Saratov, Russia

² Saratov State University, 410012 Saratov, Russia

Abstract The transformation of the power of terahertz wave normally incident onto a periodic graphene structure into the power of propagating plasmon is studied theoretically. The regime of the maximum transformation of the power of the incident radiation into the power of a traveling plasmon and the regime of the excitation of a unidirectional-traveling plasmon are found. It was shown that up to 15% of the power of the incident wave can be transformed into a propagating plasmon.